

<b>Zeitschrift:</b>	Archives des sciences [1948-1980]
<b>Herausgeber:</b>	Société de Physique et d'Histoire Naturelle de Genève
<b>Band:</b>	9 (1956)
<b>Heft:</b>	5: Colloque Ampère
<b>Artikel:</b>	Application de la résonance magnétique à l'étude de l'effet Stark du niveau $6^3 P_1$ de l'atome de mercure
<b>Autor:</b>	Blamont, Jacques / Brossel, Jean
<b>DOI:</b>	<a href="https://doi.org/10.5169/seals-739027">https://doi.org/10.5169/seals-739027</a>

### Nutzungsbedingungen

Die ETH-Bibliothek ist die Anbieterin der digitalisierten Zeitschriften auf E-Periodica. Sie besitzt keine Urheberrechte an den Zeitschriften und ist nicht verantwortlich für deren Inhalte. Die Rechte liegen in der Regel bei den Herausgebern beziehungsweise den externen Rechteinhabern. Das Veröffentlichen von Bildern in Print- und Online-Publikationen sowie auf Social Media-Kanälen oder Webseiten ist nur mit vorheriger Genehmigung der Rechteinhaber erlaubt. [Mehr erfahren](#)

### Conditions d'utilisation

L'ETH Library est le fournisseur des revues numérisées. Elle ne détient aucun droit d'auteur sur les revues et n'est pas responsable de leur contenu. En règle générale, les droits sont détenus par les éditeurs ou les détenteurs de droits externes. La reproduction d'images dans des publications imprimées ou en ligne ainsi que sur des canaux de médias sociaux ou des sites web n'est autorisée qu'avec l'accord préalable des détenteurs des droits. [En savoir plus](#)

### Terms of use

The ETH Library is the provider of the digitised journals. It does not own any copyrights to the journals and is not responsible for their content. The rights usually lie with the publishers or the external rights holders. Publishing images in print and online publications, as well as on social media channels or websites, is only permitted with the prior consent of the rights holders. [Find out more](#)

**Download PDF:** 23.02.2026

**ETH-Bibliothek Zürich, E-Periodica, <https://www.e-periodica.ch>**

# **Application de la résonance magnétique à l'étude de l'effet Stark du niveau $6^3P_1$ de l'atome de mercure**

Jacques BLAMONT et Jean BROSSEL

Ecole normale supérieure, Paris.

---

1. Nous avons étudié l'effet Stark par résonance magnétique dans l'état excité. Une inégalité de population entre les sous-niveaux Zeeman de l'état  $6^3P_1$  est créée lorsqu'on illumine la vapeur saturante de mercure par la raie de résonance 2537 Å polarisée avec son vecteur électrique parallèle à un champ magnétique extérieur  $H_0$ . Le sous-niveau  $m = 0$  est alors seul peuplé et la lumière réémise ne contient que des composantes  $\pi$ . Si on induit par un champ haute fréquence des transitions aux sous-niveaux  $m = \pm 1$ , des composantes  $\sigma$  apparaissent. On détecte ainsi la résonance magnétique par le changement du taux de polarisation de la lumière réémise. Dans l'effet Zeeman, les deux transitions ( $m = 0 \rightarrow m = +1$ ) et ( $m = 0 \rightarrow m = -1$ ) ont même fréquence et l'on observe une seule résonance. Si l'on superpose au champ  $H_0$  un champ électrique  $E_0$  parallèle à  $H_0$  les sous-niveaux  $m = +1$  et  $m = -1$  sont déplacés dans le même sens de la même quantité, le niveau  $m = 0$  est déplacé d'une façon différente. Les fréquences ( $m = 0 \rightarrow m = +1$ ) et ( $m = 0 \rightarrow m = -1$ ) sont maintenant distinctes. Nous avons observé cet effet [1] pour différentes valeurs du champ magnétique  $H_0$  et pour des champs électriques s'élevant jusqu'à 70 KV/cm.

2. Dans le cas de l'effet Zeeman pur où les trois niveaux sont équidistants, J. Brossel a montré [2] que la forme de raie se déduit de la formule de Majorana qui donne la réorientation d'un moment magnétique par un champ de radiofréquence. Dans le cas de superposition des effets Stark et Zeeman, les niveaux atomiques ne sont plus équidistants. Nous avons résolu le problème de la forme de raie sans avoir recours à aucune approximation, par intégration directe de l'équation de Schrödinger et obtenu l'équation qui représente la forme exacte de la raie. Cette forme dépend de trois facteurs du même ordre de grandeur: durée de vie  $1/\Gamma$  du niveau,

intensité du champ de radiofréquence  $\gamma H_1$ , séparation Stark des niveaux  $\varepsilon$ . Les conclusions de la théorie ont déjà été vérifiées sur les points suivants:

- a) Soit A le point de fréquence  $\omega_0$  où tombe la résonance Zeeman. Les courbes de résonance sont symétriques (quels que soient  $E_0$  et  $\gamma H_1$ ) par rapport à la verticale passant par A. La figure 1 montre deux exemples de résonance à 29 et à 61 KV/cm;

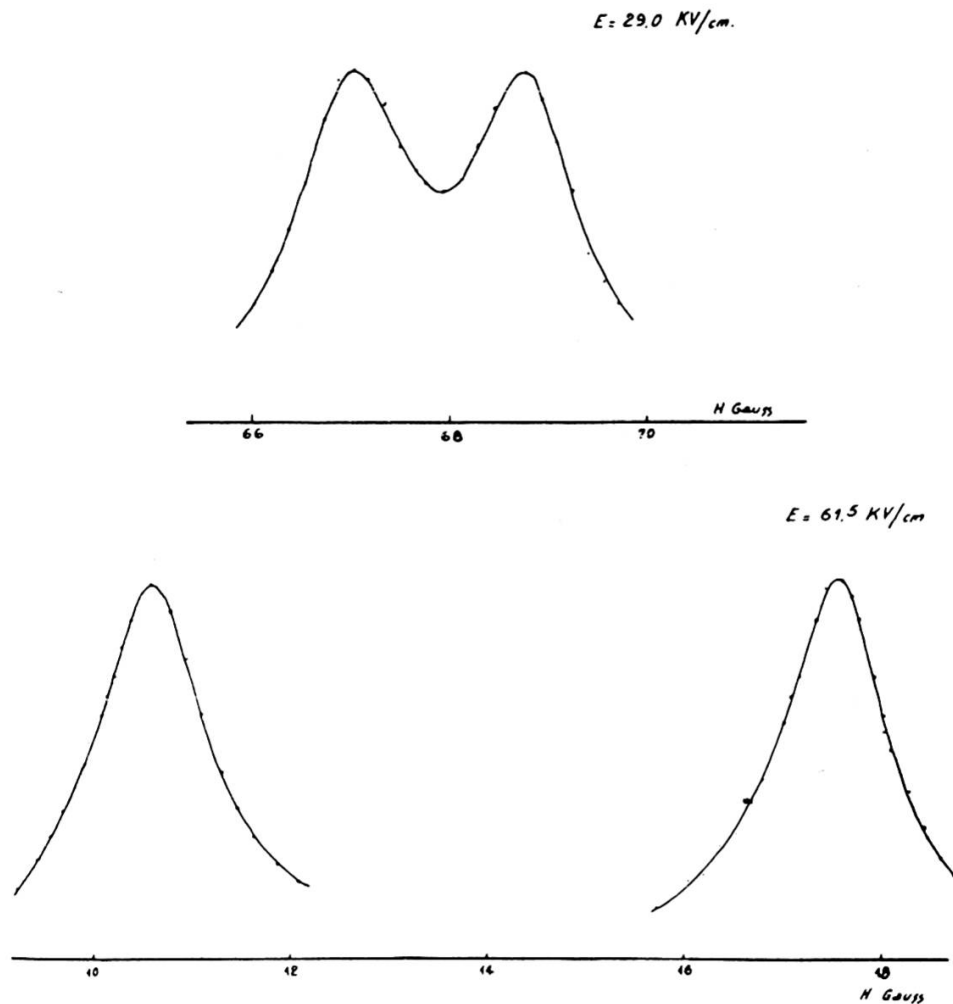


Fig. 1.

- b) Le calcul montre que l'ordonnée du point A varie comme  $1/\varepsilon^2$  ou encore comme  $1/E^4$  si l'effet Stark est quadratique. L'expérience confirme cette conclusion.
- c) La distance de A à l'un des maxima  $\omega_m$  est donnée au second ordre par la formule

$$\omega_m = \varepsilon \left[ 1 + \frac{(\gamma H_1)^2}{4 \varepsilon^2} \right] \quad (1)$$

La distance des maxima donne donc avec une bonne précision la valeur de l'effet Stark lorsque

$$\epsilon \gg \gamma H_1$$

Lorsque

$$\epsilon \gg \gamma H_1, \quad \epsilon \gg \Gamma$$

on peut assimiler la courbe de résonance à la superposition de deux courbes de Lorentz. La formule (1) montre cependant que, pour  $\epsilon$  donné, ( $E_0$  fixé) la distance des maxima augmente avec  $\gamma H_1$ . Il n'en serait pas ainsi si la courbe de résonance était la superposition de deux courbes de Lorentz indépendantes puisque alors les maxima se rapprocheraient au lieu de s'écartier.

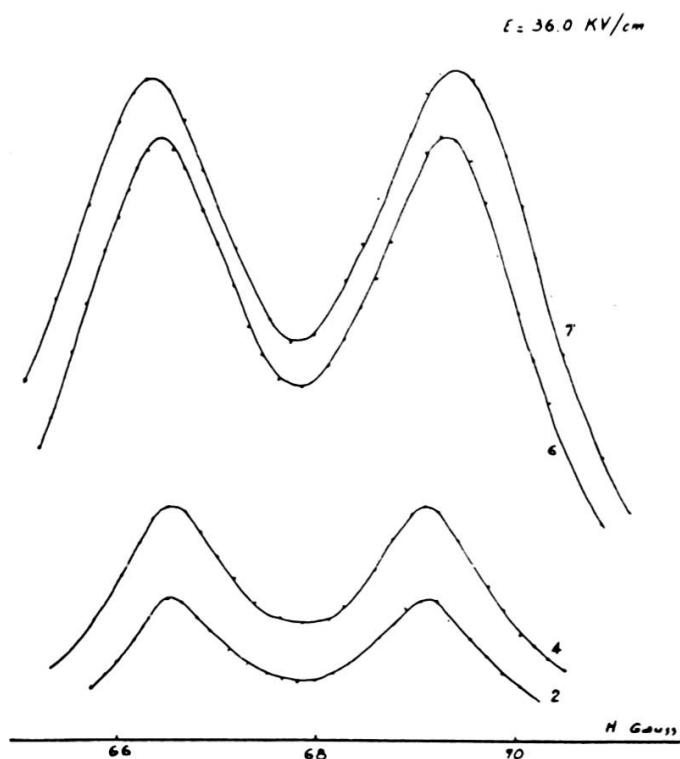


Fig. 2.

La figure 2 montre un effet d'écartement des résonances dans un champ de 36 KV/cm.

3. Entre 40 et 70 KVolts/cm, la distance des maxima  $2\omega_m$  diffère peu de  $2\epsilon$ . La figure 3 montre que l'effet Stark observé est quadratique: la courbe  $\omega_m(E^2)$  est une droite. On voit que en dessous de 40 KV/cm, si l'on porte encore les valeurs de  $\omega_m$ , distance des maxima pour  $\gamma H_1$  faible,

il continue à en être ainsi jusqu'à 20 KV/cm, valeur en dessous de laquelle les deux raies ne sont plus résolues.

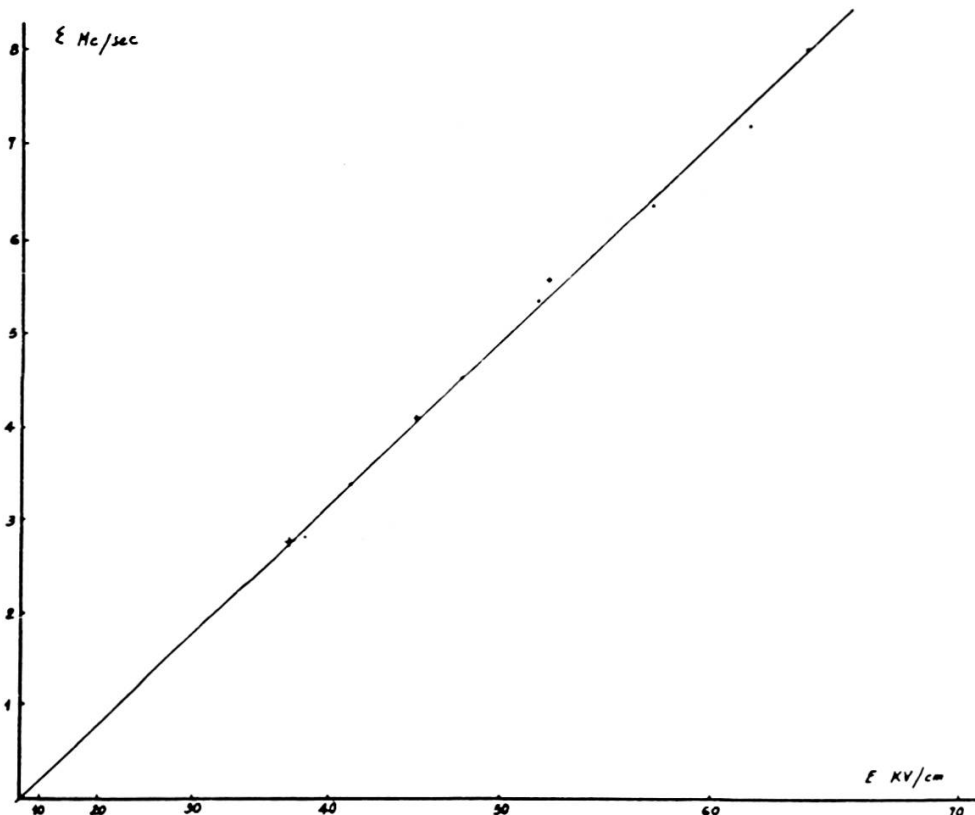


Fig. 3.

4. Nous avons pu observer les résonances ( $m_F = -3/2 \rightarrow m'_F = -1/2$ ) et ( $m'_F = 1/2 \rightarrow m_F = 3/2$ ) du niveau hyperfin  $F = 3/2$  de l'isotope  $Hg^{199}$  et en mesurer l'effet Stark. La théorie [3] prévoit que dans ce cas ( $I = 3/2$ ) l'effet Stark vaut :

$$\epsilon = \left[ \frac{m_F^2}{3} - \frac{m'^2}{3} \right] \epsilon_0 ,$$

où  $\epsilon_0$  est l'effet Stark des isotopes pairs. Les premières mesures ont confirmé cette valeur.

1. BLAMONT, J.-E. et BROSSEL, J., *Comptes rendus*, 1954, 238, 1487.
2. BROSSEL, J., *Annales de Physique*, 1952, 7, 622.
3. AYANT, Y., communication privée.